

## بررسی اثر دما و ماده جامد بر سینتیک تخریب آنتوسیانین‌های زرشک بی‌دانه (*Berberis Vulgaris var Asperma*)

محمد فرهادی چیتگر<sup>۱</sup>، محمد جواد وریدی<sup>۲</sup>، مهدی وریدی<sup>۳</sup> و فخری شهیدی<sup>۴</sup>

تاریخ دریافت: ۱۳۹۱/۹/۲۶

تاریخ پذیرش: ۱۳۹۱/۱۲/۲۶

### چکیده:

زرشک بی‌دانه یکی از محصولات کشاورزی است که در دنیا فقط در ایران به صورت انبوه کشت می‌شود. تولید فرآورده‌های جانبی این محصول رو به گسترش است. یکی از کاربردهای این محصول می‌تواند استفاده از آنتوسیانین‌های موجود در آن به عنوان رنگ طبیعی در فرآورده‌های غذایی باشد. این ترکیبات در عین مفید بودن برای سلامتی انسان، ارزش افزوده‌ی بسیار بالایی نیز دارند. دما و زمان حرارت‌دهی تاثیر بسزایی بر پایداری آنتوسیانین‌ها دارد. ساختمان آنتوسیانین‌ها تحت تاثیر دما تخریب می‌شود و شدت تخریب به حضور اکسیژن، pH و ساختار شیمیایی آنها بستگی دارد. در این پژوهش اثر دما و ماده جامد بر سینتیک پایداری آنتوسیانین‌های زرشک بی‌دانه در دامنه دمایی ۹۰-۷۰ درجه سانتی‌گراد مورد بررسی قرار گرفت. نتایج نشان داد که تجزیه حرارتی آنتوسیانین‌ها در عصاره و کنسانتره زرشک از معادله سینتیکی درجه اول پیروی می‌کند. مقادیر نیمه عمر به دست آمده در دماهای ۷۰، ۸۰ و ۹۰ درجه سانتی‌گراد به ترتیب ۶/۰۲، ۳/۳۲ و ۱/۰۶ ساعت برای عصاره (حاوی ۱۸/۹۶ درصد ماده جامد)، ۳/۳۲، ۱/۸۴ و ۰/۷۶ ساعت برای کنسانتره حاوی ۳۰ درصد ماده جامد و ۳/۱۹، ۱/۳۱، ۰/۴۹ ساعت برای کنسانتره حاوی ۵۰ درصد ماده جامد بودند. وابستگی دمایی تجزیه آنتوسیانین‌ها در عصاره و کنسانتره زرشک با استفاده از معادله آرنیوس مدل سازی شد. با افزایش ماده جامد مقدار انرژی فعال‌سازی افزایش و مقادیر اندیس D و اندیس Z کاهش یافتند. این نتیجه موید این است که تخریب آنتوسیانین‌ها در کنسانتره زودتر از عصاره رخ می‌دهد. میزان تخریب آنتوسیانین‌ها در عصاره و کنسانتره‌ها با افزایش دما افزایش یافت.

**واژه‌های کلیدی:** آنتوسیانین، سینتیک پایداری، عصاره زرشک، کنسانتره

### مقدمه:

افزوده این محصولات بسیار پایین است و محققان باید به دنبال تولید فرآورده‌های جانبی مختلف از این محصول باشند (بالندری و همکاران، ۱۳۸۱). زرشک بی‌دانه حاوی ۴۵۰-۲۰۰ میلی‌گرم/لیتر آنتوسیانین است (فلاحی، ۱۳۸۸). آنتوسیانین‌ها مشتقات گلیکوزیدی پلی‌هیدروکسیل و متوکسیل نمک‌های ۲-فنیل بنزوپیریلیوم، رنگدانه‌های غیر سمی و محلول در آب می‌باشند که بطور گسترده‌ای در طبیعت یافت می‌شوند. رنگ‌های قرمز، آبی، بنفش، ارغوانی و سیاه در بسیاری از میوه‌ها، سبزیجات و گل‌ها مربوط به آنها می‌باشند. این ترکیبات در عین مفید بودن برای سلامتی انسان، ارزش افزوده‌ی بسیار بالایی نیز دارند (Tzulker et al., 2007).

با توجه به اینکه رنگ از جنبه‌های کیفی مهم غذاهای فرآوری شده و خام می‌باشد و همراه با طعم و بافت نقش مهمی را در مقبولیت آنها ایفا می‌کند، لذا حفظ این رنگدانه‌ها طی فرایند و زمان نگهداری از اهمیت ویژه‌ای برخوردار است. پایداری رنگ آنتوسیانین‌ها تا حدود زیادی تحت تاثیر ساختمان شیمیایی، غلظت، دمای نگهداری، حضور

زرشک بی‌دانه یکی از محصولات کشاورزی است که در دنیا فقط در ایران به صورت انبوه کشت می‌شود. این درختچه در ایران به صورت خودرو و کشت شده وجود دارد. لازم به ذکر است که تنها استان خراسان جنوبی حدود ۹۵ درصد از زرشک دنیا را تولید می‌نماید. سطح زیر کشت زرشک این استان در سال ۱۳۹۰ حدود ۱۳ هزار هکتار و تولید سالانه آن، رقمی بالغ بر ۱۳ هزار تن بوده است. در هر هکتار ۱۰۰۰ کیلوگرم زرشک تر، تولید می‌شود (آمارنامه کشاورزی، ۱۳۹۰).

امروزه تکنولوژی تولید فرآورده‌های جانبی این محصول رو به گسترش است و فرآورده‌هایی نظیر مربا، مارمالاد، آب‌میوه، نوشابه، سس و ژله به صورت محدود از آن تهیه می‌شود. با این وجود، ارزش

۱، ۲، ۳ -۴ به ترتیب دانش آموخته کارشناسی ارشد، دانشیار، استادیار و استاد گروه علوم و صنایع غذایی، دانشکده کشاورزی، دانشگاه فردوسی مشهد  
(\*) نویسنده مسئول: (Email: m.varidi@um.ac.ir)

## مواد و روش‌ها

زرشک بی دانه از باغات شهرستان بیرجند خریداری شد. پس از جداسازی برگ، خارها و میوه‌های صدمه‌دیده، نمونه‌ها در بسته‌های پلی‌اتیلنی ذخیره و تا زمان انجام آزمایش‌ها در ۱۸- درجه سانتی‌گراد نگهداری شدند. کلیه مواد شیمیایی با درجه تجزیه‌ای از شرکت‌های مرک و سیگما-آلدريج خریداری شدند.

### آماده سازی عصاره وکنسانتره

میوه‌ها به مدت ۱۲ ساعت در دمای ۴ درجه سانتی‌گراد رفع انجماد شده سپس توسط دستگاه پرس دستی، عصاره‌گیری و با استفاده از صافی پارچه‌ای صاف شدند. تغلیظ عصاره توسط دستگاه روتاری اوپراتور تحت خلا مدل (Heidolph Laborot A4000) در دمای ۴۵ درجه سانتی‌گراد تا ۳۰ و ۵۰ درصد ماده جامد انجام شد.

### خصوصیات شیمیایی عصاره

بریکس عصاره توسط رفاکتومتر دستی، pH توسط pH متر دیجیتالی (Metrohm lab) میزان قندهای احیاکننده و ماده خشک بر اساس روش ذکر شده برای آبمیوه‌جات، توسط موسسه استاندارد و تحقیقات صنعتی ایران به شماره ۲۶۸۵ اندازه‌گیری شدند.

اندازه‌گیری اسیدیته به روش پتانسیومتری و تیتراسیون با سود ۰/۱ نرمال تا pH=۸/۱ بر اساس گرم اسید مالیک در لیتر عصاره انجام شد (AOAC, 1984).

### اندازه گیری آنتوسیانین‌ها

برای اندازه‌گیری آنتوسیانین‌ها ابتدا طیف جذبی آنتوسیانین‌های عصاره زرشک در بافر pH=۱ در دامنه ۷۰۰-۳۰۰ نانومتر توسط دستگاه اسپکتروفتومتر UV-160A مدل Shimadzu ترسیم گردید (شکل ۱). با توجه به طیف جذبی بیشترین جذب در طول موج ۴۹۸ نانومتر به دست آمد. میزان آنتوسیانین‌های کل عصاره و کنسانتره‌ها بر اساس روش pH افتراقی توصیف شده توسط Lee (۲۰۰۵) بدین صورت محاسبه شدند که ابتدا عصاره و کنسانتره‌ها با بافرهای کلرید پتاسیم (pH=۱) و استات سدیم (pH=۴/۵) رقیق و جذب آنها در طول موج ماکزیمم و طول موج ۷۰۰ نانومتر قرائت شد، سپس از رابطه زیر میزان آنتوسیانین‌ها بر اساس سیانیدین ۳-گلیکوزید تعیین گردید.

$$A \times L = \frac{A \times M_w \times DF \times 1000}{\epsilon \times L} = \text{میزان آنتوسیانین کل} \quad (1)$$

DF: فاکتور رقت

A: اختلاف بین دو جذب

$$A = (A_{510} - A_{700})pH_{1.0} - (A_{510} - A_{700})pH_{4.5}$$

Mw: جرم مولکولی سیانیدین ۳-گلیکوزید

ε: جذب مولی

اکسیژن، نور، قندها، آنزیمها، pH، اسیدآسکوربیک، دی اکسید گوگرد و حضور ترکیبات کمپلکس‌شونده (کوپیگمنت‌ها) و اکسیدکننده‌ها است (Malein et al., 2001). دما و زمان حرارت‌دهی تاثیر بسزایی بر پایداری آنتوسیانین‌ها دارد. ساختمان آنتوسیانین‌ها تحت تاثیر دما تخریب می‌شود و شدت تخریب به حضور اکسیژن، pH و ساختار شیمیایی آنها بستگی دارد. اطلاعات کمی در مورد مکانیسم‌های تخریب آنتوسیانین‌ها وجود دارد. Markakis (۱۹۵۷) پیشنهاد کرده است که باز شدن حلقه پیرولیوم و تشکیل چالکون اولین گام در تخریب آنتوسیانین‌ها است. Adames (۱۹۷۳) بیان کرده است که هیدرولیز بخش قندی و تشکیل آگلیکون (احتمالا به خاطر تشکیل حلقه اضافی) اولین مرحله تخریب است. همچنین این محقق گزارش کرده که آنتوسیانین‌ها می‌توانند به ساختارهای چالکونی و در اثر فرایند بیشتر با از دست دادن حلقه بتا به مشتقات گلوکوزیدی کومارین تبدیل شوند. برای بررسی واکنش تخریب رنگ، مدل‌های سینتیکی پیشنهاد می‌شود. در مدل‌هایی که برای این واکنشها عنوان می‌گردد عموماً مرتبه واکنش، ثابت سرعت واکنش و انرژی اکتیواسیون محاسبه می‌شود. از این فاکتورها برای پیشگویی افت کیفیت غذا طی انبارداری و فرایند حرارتی استفاده می‌گردد. بیشتر مطالعات تخریب آنتوسیانین‌ها در شرایط ایزوترمال تا دماهای بالای ۱۰۰ درجه سانتی‌گراد بیان شده است (Stintzing et al., 2004).

Stintzing و همکاران (۲۰۰۴) مشاهده کردند که میزان آنتوسیانین‌های اقلی پس از ۳ ساعت حرارت‌دهی در دمای ۹۵ درجه سانتی‌گراد ۵۰ درصد کاهش نشان داد. مطالعات مختلف نشان داده‌اند که یک ارتباط لگاریتمی بین نابودی آنتوسیانین‌ها با افزایش دما وجود دارد (Drdak & Daucik 1990; Rhim, 2002).

Aysegul و همکاران (۲۰۰۳) سینتیک تخریب آنتوسیانین‌های عصاره و کنسانتره پرتقال خونی را در دمای ۹۰-۷۰ درجه سانتی‌گراد مورد بررسی قرار دادند و معادله درجه اول را برای نابودی آنتوسیانین‌های آن پیشنهاد کردند. این محققان همچنین نیمه عمر (t<sub>1/2</sub>) را برای عصاره، ۱/۵-۶/۳ ساعت و برای کنسانتره با ماده جامد ۴۵ و ۶۹ به ترتیب، ۲/۴-۳/۴ و ۰/۴-۲ ساعت به دست آوردند. Miller و همکاران (۲۰۰۸) نشان دادند که طی پاستوریزاسیون در دمای ۹۵ درجه سانتی‌گراد به مدت ۳ دقیقه، ۴۳ درصد آنتوسیانین‌های منومری کاهش می‌یابد.

کسب اطلاعات دقیق در مورد پارامترهای سینتیکی برای پیش بینی تغییرات کیفی عصاره میوه‌ها طی فرایندهای حرارتی ضروری است. با توجه به بومی بودن میوه زرشک بی‌دانه و به منظور کاربرد بیشتر عصاره این میوه به عنوان رنگ طبیعی در صنایع غذایی در این مقاله، اثر دما و ماده جامد بر سینتیک پایداری آنتوسیانین‌های آن مورد بررسی قرار گرفته است.

L: طول سل بر حسب سانتی‌متر

### فرآیند حرارتی

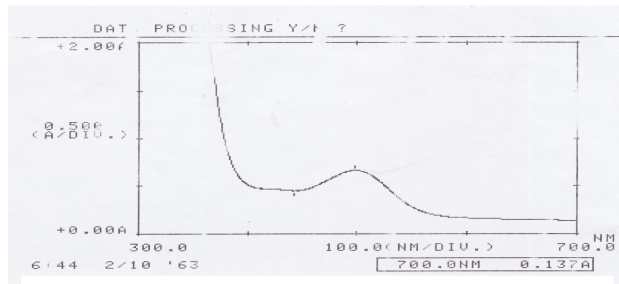
سینتیک پایداری حرارتی آنتوسیانین‌ها در عصاره و کنسانتره ۳۰ و ۵۰ درصد ماده جامد زرشک در دماهای ۷۰، ۸۰ و ۹۰ درجه سانتی‌گراد مورد بررسی قرار گرفت، بدین ترتیب که ۲۵ سی سی از نمونه در لوله آزمایش پیرکس در بن‌ماری دیجیتال (Memmert) در دماهای مذکور قرار گرفته و در فواصل زمانی معین مقداری از نمونه را برداشته و پس از شناورسازی در یخ میزان آنتوسیانین‌های آن اندازه گیری شد.

### تجزیه و تحلیل آماری

کلیه آزمایش‌ها در سه تکرار انجام شد. برای برآزش معادله مناسب سینتیکی از نرم افزار Slidewrite V7.0 استفاده گردید. برای توصیف وابستگی دمایی، داده‌ها با مدل آرنیوس مدل‌سازی شدند. ترسیم شکلها توسط نرم افزار Microsoft Excel 2007 انجام شد.

### نتایج و بحث:

جدول ۱ نتایج حاصل از آنالیز خصوصیات شیمیایی زرشک را نشان می‌دهد. فلاحی و همکاران (۱۳۸۹) اثر ۴ تاریخ برداشت را بر شاخص‌های کمی و کیفی زرشک بی‌دانه مورد بررسی قرار دادند. نتایج آنها نشان داد که میزان pH، ماده جامد و آنتوسیانین‌ها به ترتیب بین ۲/۹۳-۳/۱۴، ۱۹/۳-۱۵/۹۶ درصد ماده جامد و ۲۰۰-۴۵۰ میلی گرم/لیتر متغیر بودند. Mehmet و همکاران (۲۰۰۷) میزان آنتوسیانین‌های *B. vulgaris* کشور ترکیه را ۹۳۱/۰۵ میلی گرم/لیتر به دست آوردند. تفاوت نتایج می‌تواند مربوط به متفاوت بودن رقم یا فصل برداشت باشد. زرشک به علت خاصیت هیبرید پذیری بین گونه‌ها دارای واریته‌های متفاوتی می‌باشد واریته مورد بررسی در این پژوهش زرشک پلویی (*Asperma*) بود. همچنین متفاوت بودن شرایط آب‌وهوایی نیز می‌تواند عامل موثری بر میزان آنتوسیانین‌ها باشد. Sood و همکاران (۲۰۱۰) میزان آنتوسیانین‌های زرشک وحشی کاسمال (*Berberis lycium*) را ۸۵/۴ میلی گرم در ۱۰۰ میلی‌لیتر عصاره به دست آوردند. این گونه هسته‌دار و دارای رنگ بنفش متمایل به تیره می‌باشد.



شکل ۱- طیف جذبی عصاره زرشک در بافر pH=1 و طول موج ۳۰۰-۷۰۰ نانومتر.

### جدول ۱- خصوصیات شیمیایی عصاره زرشک

مقدار	خصوصیت
۷۹/۶±۰/۹۹ <sup>۱</sup>	رطوبت
۲۰/۴ ± ۰/۰۰۱	ماده خشک (گرم/۱۰۰ گرم)
۲/۷۱ ± ۰/۰۱۴	pH
۱۸/۹۷ ± ۰/۲۸۹	بریکس
۱۱/۳۷ ± ۰/۲۸۹	قندهای احیاکننده (گرم/۱۰۰ گرم)
۳/۸۵ ± ۰/۰۱۴	اسیدیته (گرم اسید مالیک/۱۰۰ گرم)
۲۸۰/۹۶ ± ۲۱/۸۴	آنتوسیانین (میلی گرم/لیتر)

۱- اعداد جدول به صورت میانگین ± انحراف استاندارد داده‌ها

۲- بر اساس سیانیدین ۳- گلیکوزید

تخریب آنتوسیانین‌های پرتقال خونی بررسی کردند و مقادیر نیمه عمر را در دماهای ۸۰، ۷۰ و ۹۰ درجه سانتی‌گراد به ترتیب ۳/۶، ۶/۳ و ۱/۵ ساعت برای آنتوسیانین‌های عصاره، ۳/۴، ۱/۳ و ۰/۷ برای کنسانتره ۴۵ درصد و ۲، ۰/۸ و ۰/۴ ساعت برای کنسانتره ۶۹ درصد ماده جامد به دست آوردند. Wang و همکاران (۲۰۰۷) نیز مقادیر نیمه عمر را برای آنتوسیانین‌های عصاره توت سیاه به ترتیب ۱۶/۷، ۸/۷، ۴/۷ و ۲/۹ ساعت در دماهای ۸۰، ۷۰، ۶۰ و ۹۰ درجه سانتی‌گراد محاسبه کردند. همچنین Cemeroglu و همکاران (۱۹۹۴) اثر دما و ماده جامد را بر سینتیک تخریب آنتوسیانین‌های عصاره گیلاس ترش مورد بررسی قرار دادند و مقادیر نیمه و کمتر از آنتوسیانین‌های توت سیاه و گیلاس می‌باشد.

بخشی از این تفاوت در مقاومت حرارتی، می‌تواند به نوع آنتوسیانین‌های موجود در عصاره این میوه‌ها مربوط باشد. Boyels و همکاران (۱۹۹۳) بالاتر بودن پایداری رنگ قرمز فرآورده‌های تمشک نسبت به توت‌فرنگی را به جانشین شدن قند سوپروز در ساختمان آنتوسیانین‌های تمشک نسبت دادند. Broennum و همکاران (۱۹۸۵) بیان کردند و کمتر از آنتوسیانین‌های توت سیاه و گیلاس می‌باشد. بخشی از این تفاوت در مقاومت حرارتی، می‌تواند به نوع آنتوسیانین‌های موجود در عصاره این میوه‌ها مربوط باشد. Boyels و همکاران (۱۹۹۳) بالاتر بودن پایداری رنگ قرمز فرآورده‌های تمشک نسبت به توت‌فرنگی را به جانشین شدن قند سوپروز در ساختمان آنتوسیانین‌های تمشک نسبت دادند.

Broennum و همکاران (۱۹۸۵) بیان کردند عمر را در دمای ۶۰ و ۸۰ درجه سانتی‌گراد به ترتیب ۵۴/۳ و ۸/۱ ساعت برای عصاره، ۲۴ و ۴/۴ ساعت برای کنسانتره ۴۰ درصد ماده جامد و ۱۳/۱ و ۲/۸ ساعت برای کنسانتره ۷۱ درصد ماده جامد، به دست آوردند. براین اساس با توجه به مقایسه مقادیر نیمه عمر عصاره‌ها، مقاومت حرارتی آنتوسیانین‌های زرشک مشابه آنتوسیانین‌های پرتقال خونی آنتوسیانین‌های حاوی دی ساکارید در مقایسه با آنتوسیانین‌های حاوی منوساکارید پایدارترند. بخش اعظم آنتوسیانین‌های پرتقال خونی (Mazza & Miniati, 1993)، توت‌سیاه (Fan-) (Chiang, 2005) و زرشک بی‌دانه (قنادی، 1375) را آنتوسیانین‌های حاوی منوساکارید (بیشتر سیانیدین ۳ گلیکوزید) تشکیل می‌دهند. در صورتی که آنتوسیانین‌های عمده گیلاس ترش را سیانیدین ۳- گلیکوزیل روتینوزید و سیانیدین ۳-روتینوزید تشکیل می‌دهند (Dekazos, 1970; Simunic et al., 2005)

در مقایسه با سایر میوه‌ها مانند توت‌فرنگی ۳۵۰-۱۵۰ میلی‌گرم در لیتر (Clifford, 2001)، توت سیاه ۴۰۰/۷۷ میلی‌گرم در لیتر (Wang, 2007)، آلو ۲۵۰-۲۰ میلی‌گرم در لیتر (Clifford, 2001) و تمشک ۴۲۷۷-۱۷۰۰ میلی‌گرم/لیتر (Clifford, 2001)، زرشک بی‌دانه از نظر میزان آنتوسیانین‌ها در رده منابع متوسط قرار می‌گیرد.

### سینتیک تجزیه آنتوسیانین‌ها

سینتیک تخریب بیشتر مواد مغذی و رنگدانه‌ها از معادله درجه اول (۱) یا معادله درجه صفر (۲) تبعیت می‌کند (Maskan, 2006).

$$C_t = C_0 + k_0 t \quad (1)$$

$$C_t = C_0 \exp(-kt) \quad (2)$$

در این معادلات  $C_0$  و  $C_t$  میزان آنتوسیانین‌ها در زمان اولیه و بعد از حرارت دادن به مدت  $t$  دقیقه و  $k$  و  $k_0$  به ترتیب ثابت سرعت واکنش درجه اول و ثابت سرعت واکنش درجه صفر می‌باشند. برای انتخاب بهترین معادله داده‌ها با هر دو مدل برازش شد (جدول ۲). ضریب تبیین بالا (۰/۹۸۱-۰/۹۰۰) در معادله درجه اول در مقایسه با ضریب تبیین معادله درجه صفر (۰/۸۶۷-۰/۹۷۰) و همچنین رابطه خطی در شکل‌های به دست آمده از معادله درجه اول (شکل ۲، ۴) نشان می‌دهد که تجزیه حرارتی آنتوسیانین‌های عصاره و کنسانتره زرشک از معادله درجه اول پیروی می‌کند. مطالعات قبلی نیز موبد این یافته است (Calvi & Francis, 1978; Cemeroglu et al., 1994; Garzo'n & Wrolstad, 2002).

نیمه عمر ( $t_{1/2}$ ) زمانی که لازم است تا آنتوسیانین‌ها به ۵۰ درصد مقدار اولیه برسند، براساس معادله زیر محاسبه شد.

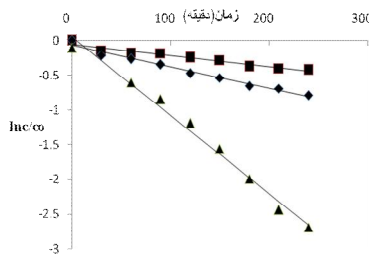
$$t_{1/2} = -\ln 0.5/k \quad (3)$$

پارامترهای سینتیکی برازش شده از معادلات فوق در جدول ۲ نشان داده شده است.

مطابق انتظار تجزیه آنتوسیانین‌های عصاره و کنسانتره زرشک با افزایش دما و زمان افزایش یافته است. اندیس  $k$  برای عصاره و کنسانتره‌های ۳۰ و ۵۰ درصد ماده جامد در بازه زمانی ۴ ساعت به ترتیب، ۱۰/۹۲-۱/۹۲، ۱۵/۱-۳/۴۸ و ۲۳/۴۵-۳/۶۲ به دست آمد. مقادیر نیمه عمر ( $t_{1/2}$ ) نیز به ترتیب ۶/۰۲، ۳/۳۲ و ۱/۰۶ ساعت برای عصاره، ۳/۳۲، ۱/۸۴ و ۰/۷۶ ساعت برای کنسانتره ۳۰ درصد و ۳/۱۹، ۱/۳۱ و ۰/۴۹ ساعت برای کنسانتره ۵۰ درصد ماده جامد در دماهای ۷۰، ۸۰ و ۹۰ درجه سانتی‌گراد محاسبه شدند (جدول ۲). Aysegul و همکاران (۲۰۰۳) اثر دما و ماده جامد را بر سینتیک

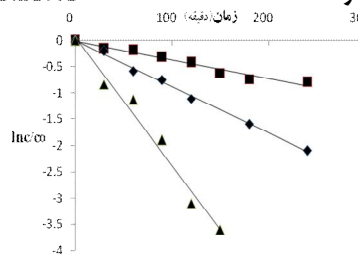
جدول ۲- پارامترهای سینتیکی تجزیه آنتوسیانین‌ها در عصاره و کنسانتره زرشک

بریکس	دما (سانتی گراد)	$k_0^1$ (دقیقه.لیتر/میلی گرم)	$R^2$	$k^2 (\times 10^3)$ (دقیقه/۱)	$R^2$	$t_{1/2}^3$ (ساعت)
۱۸/۹۷	۷۰	$0.48 \pm 0.28$	۰/۸۶۷	$1.92 \pm 0.14$	۰/۸۶۷	$6.02 \pm 0.44^4$
	۸۰	$0.76 \pm 0.42$	۰/۹۱۶	$3.48 \pm 0.18$	۰/۹۶۸	$3.32 \pm 0.13$
	۹۰	$1.37 \pm 0.56$	۰/۹۲۰	$1.092 \pm 0.14$	۰/۹۸۱	$1.06 \pm 0.01$
۳۰	۷۰	$0.98 \pm 0.98$	۰/۹۵۳	$3.48 \pm 0.28$	۰/۹۸۹	$3.32 \pm 0.26$
	۸۰	$1.46 \pm 0.84$	۰/۹۷۰	$6.29 \pm 0.42$	۰/۹۷۰	$1.84 \pm 0.12$
	۹۰	$2.75 \pm 0.21$	۰/۹۳۰	$15.1 \pm 0.14$	۰/۹۳۳	$0.76 \pm 0.07$
۵۰	۷۰	$1.97 \pm 0.12$	۰/۹۴۰	$3.62 \pm 0.42$	۰/۹۶۳	$3.19 \pm 0.37$
	۸۰	$3.53 \pm 0.84$	۰/۸۳۰	$8.81 \pm 0.56$	۰/۹۹۶	$1.31 \pm 0.08$
	۹۰	$5.87 \pm 0.24$	۰/۸۳۱	$23.45 \pm 0.35$	۰/۹۶۱	$0.49 \pm 0.07$



شکل ۳- تجزیه حرارتی آنتوسیانین‌های کنسانتره زرشک (Bx=۳۰) در دماهای

۷۰، ۸۰ و ۹۰ درجه سانتی گراد.

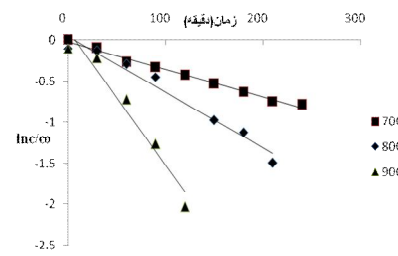


شکل ۴- تجزیه حرارتی آنتوسیانین‌های

کنسانتره زرشک (Bx=۵۰) در دماهای

۷۰، ۸۰ و ۹۰ درجه سانتی گراد.

شکل ۲- تجزیه حرارتی آنتوسیانین‌های عصاره زرشک (Bx=۱۸/۹۷) در دماهای ۷۰، ۸۰ و ۹۰ درجه سانتی گراد.



۷۰، ۸۰ و ۹۰ درجه سانتی گراد طی ۴ ساعت بود. در صورتی که میزان تخریب، ۳۲/۵۸، ۴۳/۴۵ و ۸۶/۹ درصد در کنسانتره حاوی ۳۰ درصد و در کنسانتره حاوی ۵۰ درصد ماده جامد، ۳۳/۷۸، ۶۷/۱۲، ۹۵/۲۴ درصد طی ۲ ساعت حرارت‌دهی در دماهای فوق محاسبه شد. نتایج مشابهی برای آنتوسیانین‌های توت فرنگی (Garzon, 2002)، گیلاس (Cemeroglu, 1994) و پرتقال خون (Aysegul Kirca, 2003) گزارش شده است.

با توجه به جدول ۲ نابودی آنتوسیانین‌ها در کنسانتره زرشک سریعتر از عصاره اتفاق می افتد به عبارت دیگر با افزایش ماده جامد سرعت نابودی آنتوسیانین‌ها بیشتر می شود، زیرا زمانی که عصاره تغلیظ می شود سطح تماس مواد واکنش دهنده (مانند اکسیژن) افزایش پیدا می کند و در نتیجه سرعت تخریب افزایش می یابد (Nielsen, Marcy & Sadler, 1993). میزان تخریب آنتوسیانین‌ها در عصاره زرشک به ترتیب ۳۴/۰۸، ۴۹/۳۷، ۹۳/۲۴ درصد در دماهای

**وابستگی دمایی**

از مدل آرنیوس برای توصیف وابستگی دمایی تجزیه آنتوسیانین‌ها در عصاره و کنسانتره زرشک استفاده شد.

$$k = k_0 \times e^{-Ea/RT} \quad (5)$$

که در آن  $Ea$  انرژی فعال سازی بر حسب کیلوژول/مول  $k_0$  ثابت آرنیوس بر حسب عکس زمان،  $R$  ثابت جهانی گازها (۸/۴۵۳۱ ژول/مول درجه کلونین)،  $T$  دمای مطلق بر حسب کلونین. جهانی گازها (۸/۴۵۳۱ ژول/مول درجه کلونین)،  $T$  دمای مطلق بر حسب کلونین.

زمان کاهش اعشاری (D-Value)، اندیس  $Z$  (دمای مورد نیاز برای کاهش D-Value به اندازه یک سیکل لگاریتمی) و ضریب دمایی  $Q_{10}$  از معادلات ذیل محاسبه شدند.

$$D = \ln 10 / k \quad (6)$$

$$\ln(D_1/D_2) = (T_2 - T_1) / Z \quad (7)$$

$$Q_{10} = (k_2/k_1)^{10/T_2 - T_1} \quad (8)$$

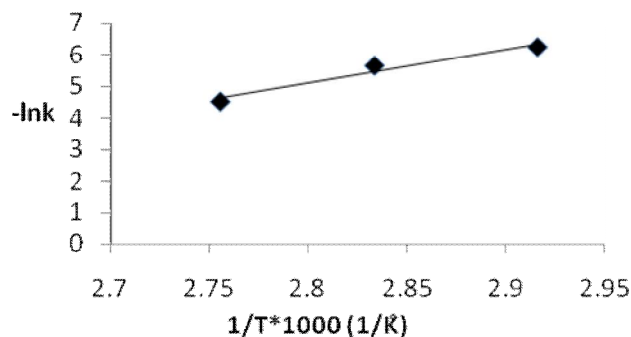
پارامترهای برآزش شده از معادلات فوق در جدول ۳ بیان شده

**جدول ۳- پارامترهای حرارتی تجزیه آنتوسیانین‌ها در عصاره و کنسانتره زرشک**

Ea (کیلوژول/مول)	اندیس $Q_{10}$		اندیس $Z$ (درجه سانتی گراد)	اندیس $D$ (ساعت)	دما	بریکس
	۸۰-۹۰	۷۰-۸۰				
۸۹/۶۷(۰/۹۶۱) <sup>۲</sup>	۳/۱۴±۰/۰۰۹	۱/۸۱±۰/۰۲۱	۲۷/۰۲±۰/۰۱۴	۱۹/۹۹±۰/۱۴۷	۷۰	۱۸/۹۶
				۱۱/۰۳ ± ۰/۰۴۴	۸۰	
				۳/۵۱±۰/۰۰۴	۹۰	
				۱۱/۰۳±۰/۰۸۹	۷۰	
۸۱/۶۹(۰/۹۷۴)	۲/۴۱±۰/۰۵۶	۱/۸۱±۰/۰۲۷	۲۹/۴۱±۰/۰۴۲	۶/۱ ± ۰/۰۴۱	۸۰	۳۰
				۲/۵۴±۰/۰۲۳	۹۰	
				۱۰/۶۰ ± ۰/۱۲۴	۷۰	
				۴/۳۶±۰/۰۲۸	۸۰	
۱۰۱/۸۸(۰/۹۹۴)	۲/۶۶±۰/۰۲۳	۲/۴۳±۰/۰۱۳	۲۴/۳۹ ± ۰/۰۸۴	۱/۶۳ ± ۰/۰۲۴	۹۰	۵۰

۱- اعداد جدول به صورت میانگین ± انحراف استاندارد داده‌ها

۲- اعداد داخل پرانتز ضریب تبیین را نشان می‌دهد.



**شکل ۴- نمودار آرنیوس آنتوسیانین‌های عصاره زرشک (Bx=۱۸/۹۶)**

است.

برای محاسبه انرژی فعال سازی، نمودار  $-\ln k$  بر  $1/T$  را برای عصاره و کنسانتره‌ها ترسیم شد. (شکل ۴) با استفاده از شیب خط راست به دست آمده انرژی فعال سازی به ترتیب ۸۹/۶۷، ۸۱/۶۹ و ۱۰۳/۱۱ کیلوژول/مول برای عصاره و کنسانتره ۳۰ و ۵۰ درصد ماده جامد محاسبه شد.

همان طور که در جدول ۳ مشاهده می‌شود با افزایش ماده جامد مقدار انرژی فعال سازی افزایش ولی مقادیر اندیس  $D$ ، اندیس  $Z$  و  $Q_{10}$  به طور کلی کاهش یافته است. که این خود موید تخریب سریعتر آنتوسیانین‌ها در کنسانتره در مقایسه با عصاره می‌باشد. انرژی فعال سازی بالا و  $Z$  پایین نشان‌دهنده این موضوع است که نابودی آنتوسیانین‌ها وابسته به افزایش دما است. به عبارت دیگر هر چه انرژی فعال سازی بیشتر باشد تغییر دمای کمتری مورد نیاز است تا یک ترکیب خاص با سرعت بالاتری تخریب گردد. مقادیر انرژی فعال سازی محاسبه شده برای عصاره و کنسانتره زرشک مشابه مقادیر گزارش شده توسط

گردد برای عصاره زغال اخته محاسبه کردند، بیشترین مقدار برای دمای ۵۰-۴۰ درجه سانتی‌گراد (۴/۲۷) به دست آمد.

### نتیجه‌گیری

نتایج این مطالعه، جزئیات مربوط به سینتیک پایداری آنتوسیانین‌های عصاره و کنسانتره زرشک، طی فرایند حرارتی را نشان می‌دهد. نتایج حاکی از آن بود که تجزیه حرارتی آنتوسیانین‌های عصاره و کنسانتره زرشک از معادله درجه اول پیروی می‌کند، همچنین تغییر در ثابت سرعت واکنش مطابق با معادله آرنیوس بود. افزایش انرژی فعال سازی و کاهش مقادیر D و Z با افزایش ماده جامد موید این یافته است که افزایش ماده جامد سرعت تخریب آنتوسیانین‌های زرشک را به دلیل نزدیک شدن مولکولهای واکنش دهنده افزایش می‌دهد. آنتوسیانین‌های زرشک در مقابل حرارت حساس هستند و تجزیه آنها با افزایش دما افزایش می‌یابد. فرایندهای تجاری تولید کنسانتره در دمای بالا برای زرشک توصیه نمی‌شود. لذا برای فرآوری آن باید از دمای پایین و زمان کوتاه استفاده کرد یا به وسیله کوپیگمنتاسیون آنها را پایدار کرد. با توجه به تولید بالای زرشک در کشورمان و قابلیت استفاده از این فرآورده به عنوان رنگ خوراکی لازم است در زمینه پایداری آنتوسیانین‌های حاصل از این محصول در سیستمهای مدل غذایی مطالعات بیشتری صورت گیرد.

تانچو (۱۹۷۲) برای آنتوسیانین‌های تمشک (۹۷/۱ کیلوژول/مول) و برای سیانیدین ۳-روتینوزید و پئونیدین ۳-روتینوزید (۹۹/۲-۱۱۸ کیلوژول/مول) در یک سیستم مدل و مشابه انرژی فعال‌سازی گزارش شده برای زغال اخته (۸۰/۴۲) توسط کچنیسکی (۲۰۰۹) بود. اما مقادیر انرژی فعال‌سازی محاسبه شده در این پژوهش بالاتر از مقادیر گزارش شده توسط آیزگل (۲۰۰۳) برای آنتوسیانین‌های عصاره و کنسانتره ۴۵ و ۶۹ پرتقال خونی (۷۳/۶، ۸۴/۵ و ۸۹/۵) و همچنین بیشتر از مقادیر گزارش شده برای عصاره و کنسانتره ۴۵ و ۷۱ گیلاس برای عصاره و کنسانتره ۴۵ و ۷۱ آلبالو (۷۵/۵، ۶۸/۵ و ۸۰/۱ کیلوژول/مول) توسط سموراگلو بود. پایین‌ترین انرژی فعال‌سازی گزارش شده برای نوشیدنی شلغم (۴۶/۵ کیلوژول/مول) توسط تارکر و همکاران (۲۰۰۴) در دمای ۴۰-۴ درجه سانتی‌گراد بوده است. که علت پایین بودن انرژی فعال‌سازی را مربوط به پایین بودن ماده جامد نسبت داده‌اند.

بالا بودن  $Q_{10}$  نشان می‌دهد که دماهای پایین‌تری برای نگهداری و جلوگیری از تخریب آنتوسیانین‌ها مورد نیاز است. پایین بودن  $Q_{10}$  نشان دهنده وجود پیوستگی مولکولی است که می‌تواند میزان تخریب آنتوسیانین‌ها را کاهش دهد (Al-Zubaidy, 2007). با توجه به جدول ۳ بیشترین مقدار  $Q_{10}$  برای عصاره و کنسانتره‌ها مربوط به دمای ۹۰-۸۰ درجه سانتی‌گراد است. کچنیسکی و همکاران (۲۰۰۹) مقادیر  $Q_{10}$  را در دامنه دمایی ۸۰-۴۰ درجه سانتی

### منابع

- Agriculture Statistics, Season 90-91, Department of Planning and Economic.
- Balandari, A., Kafi, M. Barberry Production and processing technology. Publisher Nasher Zaban and Adab, 37-51.
- Fallahi, J., Rezvani moghadam, P., Nasiri mahallati, M. Effects of harvest date on quantitative and qualitative traits in seedless barberry (*Berberis vulgaris* L.). Iran Agricultural Research Journal. 8, 225-234.
- Ghannadi, A.R. Barberry fruit anthocyanins - a valuable resource to supply natural colors. Research and development, 36-41
- Adams, J.B., 1973, Thermal degradation of anthocyanin with particular reference on 3 glucosides of cyanidin In acidified aqueous solution at 100 C. Journal of the Science of Food and Agriculture, 24. 747-762.
- Akbulut, M., Çalıřır, S., Marakođlu, T., Çoklar, H., 2009, Some physicochemical and nutritional properties of barberry (*Berberis vulgaris* L.) fruits. Journal of Food Process Engineering, 32 :497-511.
- Al-Zubaidy, M.M., Khalil, R.A., 2007, Kinetic and prediction studies of ascorbic acid degradation in normal and concentrate local lemon juice during storage. Food Chemistry, 101: 747-762.
- AOAC, 1984. Official Methods of Analysis, 14th ed. Association of Official Analytical Chemists, VA, USA.
- Boyles, M., & Wrolstad, R. E., 1993, Anthocyanin composition of red raspberry juice: influences of cultivar, processing and environmental factors. Journal of Food Science, 58: 1135-1141.
- Broennum-Hansen, K., Flink, J M., 1985, Anthocyanin colorants from elderberry (*Sambucus nigra* L.). 3. storage stability of the freeze dried product. Journal of Food Technology, 20: 725-733.
- Brownmiller, C., Howard, L. R., & Prior, R. L. 2008, Processing and storage effects on monomeric anthocyanins, percent polymeric colour, and antioxidant capacity of processed blueberry products. Journal of Food Science, 5: 72-79.
- Calvi, J. P., & Francis, F. J., 1978, Stability of Concord grape (*V. Labrusca*) anthocyanins in model systems. Journal of Food Science, 43: 1448-1456.
- Cemerog̃ lu, B., Veliog̃ lu, S., & Is, ık, S. 1994, Degradation kinetics of anthocyanins in sour cherry juice and concentrate. Journal of Food Science, 59: 1216-1217.

- Clifford, M. N., 2000, Anthocyanins nature, occurrence and dietary burden. *Journal of Science Food Agriculture*, 80: 1063–1072.
- Daravingas, G., & Cain, R. F., 1968, Thermal degradation of black raspberry anthocyanin pigments in model systems. *Journal of Food Science*, 33: 138–142.
- Drdak, M., & Dacic, P., 1990, Changes of elderberry (*Sambucus nigra*) pigments during the production of pigment concentrates. *Acta Aliment*, 19: 3-7.
- Dekazos, E. D., 1970, Anthocyanin pigments in red tart cherries. *Journal of Food Science*, 35: 237–241.
- Dyrby, M., Westergaard, N., & Stapelfeldt, H., 2001, Light and heat sensitivity of red cabbage extract in soft drink model systems. *Food Chemistry*, 72: 431–437.
- Fan-Chiang, H. J., & Wrolstad, R.E., 2005, Anthocyanin pigment composition of blackberries. *Journal of Food Science*, 70: 198–202.
- Garzo'n, G. A., & Wrolstad, R. E., 2002, Comparison of the stability of pelargonidin-based anthocyanins in strawberry juice and concentrate. *Journal of Food Science*, 67: 1288–1299.
- Kirca, A., Cemerog B., 2003, Degradation kinetics of anthocyanins in blood orange juice and concentrate. *Food Chemistry*, 81: 583-587.
- Laleh, G. H.; Frydoonfar, H.; Heidary, R.; Jameei, R.; Zare, S., 2006, The effect of light, temperature, pH and species on stability of anthocyanin pigments in four *Berberis* species. *Pak. J. Nutr*, 5: 90–92.
- Lee, J., Durst, R. W., & Wrolstad, R. E., 2002, Impact of juice processing on blueberry anthocyanins and polyphenolics: comparison of two pretreatments. *Journal of Food Science*, 67: 1660–1667.
- Lee, J., Durst, R. W., & Wrolstad, R. E., 2005, Determination of total monomeric anthocyanin pigment content of fruit juices, beverages, natural colorants, and wines by the pH differential method: collaborative study. *Journal of AOAC International*, 88: 1269–1278.
- Malien-Aubert, C., Dangles, O., Amiot, M., 2001, Color stability of commercial anthocyanin-based extracts in relation to the phenolic composition. Protective effects by intra and intermolecular copigmentation. *J. Agric Food Chem*, 49: 170-176.
- Markakis, P., Livingstone, G. E., & Fillers, G. R., 1957. Quantitative aspects of strawberry pigment degradation. *Food Research*, 22:117-130.
- Maskan, M., 2006, Production of pomegranate (*Punica granatum L.*) juice concentrate by various heating methods: color degradation and kinetics. *Journal of Food Engineering*, 72: 218–224.
- Mazza, G., & Brouillard, R., 1987, Recent developments in the stabilization of anthocyanins in food products. *Food Chemistry*, 25:207–225.
- Min-Sheng, S., Chien, P., 2007, Antioxidant activity, anthocyanins, and phenolics of rabbiteye blueberry (*Vaccinium ashei*) fluid products as affected by fermentation. *Food Chemistry*, 104: 182-187.
- Nielsen, S. S., Marcy, J. E., & Sadler, G. D., 1993,. *Principles of aseptic processing and packaging*, Washington DC: Food Processors Institute, 87–111.
- Rhim, J. W., 2002, Kinetics of thermal degradation of anthocyanin pigment solutions driven from red flower cabbage. *Food Science and Biotechnology*, 11: 361-364.
- Simunic, V., Kovac, S., Gas'o-Sokac, D., Pfannhauser, W., & Murkovic, M., 2005, Determination of anthocyanins in four Croatian cultivars of sour cherries (*Prunus cerasus*). *European Food Research and Technology*, 220: 575–578.
- Standard Institute and Industrial Researches of Iran. 1991, *Fruit juice- Specifications*. Standard No: 2685.
- Stintzing, F. C., & Carle, R., 2004, Functional properties of anthocyanins and betalains in plants, food, and in human nutrition. *Trends in Food Science and Technology*, 15: 19-38.
- Tanchev, S. S., 1972, Kinetics of the thermal degradation of anthocyanins of the raspberry. *Zeitschrift fu'r Lebensmittel Untersuchungund Forschung*, 150: 28–30.
- Turker, N., Aksay, S., & Ekiz, H. Y., 2004, Effect of storage temperature on the stability of anthocyanins of a fermented black carrot (*Daucus carota var. L.*) beverage: shalgam. *Journal of Agricultural and Food Chemistry*, 52:3807–3813.
- Tzulker, R., Glazer, I., Bar-Ilan, I., Holland, D., Aviram, M., Amir, R., 2007, Antioxidant activity, polyphenol content and related compounds in different fruit juices and homogenates prepared from 29 different pomegranate accessions. *J. Agric. Food Chem*, 55: 9559-957.
- Wang, W. and S. Xu., 2007, "Degradation kinetics of anthocyanins in blackberry juice and concentrate. *Food Engineering*, 82:271–275.



## Effects of temperature and solid content on degradation kinetics of anthocyanins in barberry (*Berberis vulgaris var asperma*)

M. Farhadi chitgar<sup>1</sup>- M.J. Varidi<sup>2</sup>- M. Varidi<sup>3</sup>& F. shahidi<sup>4</sup>

Received: 26-12-2012

Accepted: 16-03-2013

### Abstract:

Barberry is an agricultural product, which is cultivated in large amounts, only in Iran. Its popularity as an ingredient has grown recently. It contains anthocyanins which can be used as natural food colorants. These compounds are useful for human health and have high economic value. Magnitude and duration of heating affect on anthocyanin stability. High temperatures degrade the anthocyanins and the rates of degradation depend on the presence of oxygen, pH and their chemical structures. In this study the effect of temperature and solid content on degradation kinetic of anthocyanins in *Berberis vulgaris var asperma* were determined over a temperature range of 70-90°C. Analysis of kinetic data suggested a first-order reaction for the degradation of barberry juice and concentrate anthocyanins. The half-life values were calculated 6.02, 3.32 and 1.06h for juice, 3.32, 1.84 and 0.76h for concentrate of 30 Brix and 3.19, 1.31 and 0.49h for concentrate of 50 Brix between 70 and 90°C, respectively. The temperature-dependent degradation was modeled using Arrhenius equation. By increasing solid content, the activation energy value was increased but D-value and Z-values were reduced. The results shows that the degradation of anthocyanins in concentrates occurred at a faster rate than in juice. By increasing the temperature degradation rates were increased both in juice and concentrate.

**Keywords:** Anthocyanins, Degradation kinetics, Berberis juice , Concentrate

---

1, 2, 3 And 4- Former MSc Student , Associate Professor, Assistant Professor and Professor , Department of Food Science and Technology, Faculty of Agriculture, Ferdowsi University of Mashhad, Iran  
(\* - Corresponding Author Email: m.varidi@um.ac.ir)